

# БЕЗОТРАЖАТЕЛЬНОЕ ПРОХОЖДЕНИЕ ЭЛЕКТРОМАГНИТНОЙ ВОЛНЫ ЧЕРЕЗ СЛОЙ КИРАЛЬНОЙ СРЕДЫ

*Г.В. Гах, Н.С. Ерохин*

*Институт космических исследований РАН, Москва, Россия*

*E-mail: nerokhin@mx.iki.rssi.ru*

Изучено взаимодействие электромагнитной волны со слоем киральной среды. Задача сведена к анализу уравнения Гельмгольца. На основе точного решения показана возможность безотражательного прохождения падающей из вакуума волны через слой киральной среды для любых значений диэлектрической проницаемости слоя  $\epsilon$ , включая случай непрозрачной плазмподобной среды с отрицательным значением  $\epsilon$ . Приведены примеры просветления слоя киральной среды при наличии интенсивных мелкомасштабных структур.

## 1. ВВЕДЕНИЕ

В последние годы благодаря успехам в физике полимеров и технологиях создания искусственных диэлектриков большое внимание уделяется исследованию волновых процессов в так называемых киральных средах [1-7]. Киральность материала может существенно влиять на электродинамические характеристики среды, в частности, появляется линейная связь ТЕ- и ТМ-мод, возникает вращение плоскости поляризации волн, модифицируются процессы рассеяния и возбуждения волн и т.д. Киральная плазма является разновидностью пылевой плазмы, в которой пылевые частицы обладают киральными свойствами, а соотношения между полями и индукциями (для волны с заданной частотой  $\omega$ ) имеют следующий вид:  $\mathbf{D} = \epsilon \mathbf{E} + i \gamma \mathbf{B}$ ,  $\mathbf{H} = \mathbf{B} + i \gamma \mathbf{E}$ , где  $\gamma$  - параметр киральности;  $\mathbf{E}$ ,  $\mathbf{H} \sim \exp(-i \omega t)$ ;  $\epsilon$  - диэлектрическая проницаемость плазмы в отсутствие киральной примеси. Эти связи между полями и индукциями в киральных средах обсуждались, например, в работах [1,2,5,6]. В киральной плазме нормальными колебаниями являются гибридные моды, в частности, поперечные гибридные моды имеют круговую поляризацию. Исследование особенностей взаимодействия электромагнитных волн с киральной плазмой представляет интерес с точки зрения поиска возможностей повышения эффективности поглощения электромагнитного излучения в плазменных системах, новых механизмов генерации электромагнитных волн потоками заряженных частиц, вращения плоскости поляризации волн, просветления волновых барьеров и т.д.

В настоящей работе представлены точно решаемые модели безотражательного взаимодействия поперечной гибридной моды с киральной плазмой. Ранее вопрос построения моделей безотражательного взаимодействия волн с неоднородными диэлектриками в отсутствие киральности рассматривался, например, в работах [7-10]. Аналогично [9,10] для безразмерного волнового числа  $p(\xi) = c k_z / \omega$  и диэлектрической проницаемости  $\epsilon$  использована модель со свободными параметрами. Здесь  $\xi = \omega z / c$ , мода распространяется вдоль оси  $z$ . Изучены примеры безотражательного взаимодействия электромагнитных волн (гибридных мод) с локализованными, мелкомасштабными, плазменными структурами.

Для гибридных мод, имеющих круговую поляризацию, задача сведена к решению уравнения Гельмгольца. Подбором исходных параметров задачи можно получить любое число квазипериодических структур, содержащих слои с разными толщинами и глубинами модуляции концентрации плазмы, т.е. диэлектрической проницаемости  $\epsilon$ .

Принципиально то, что характерные толщины слоев в неоднородной системе могут быть значительно меньше вакуумной длины волны  $c/\omega$ , а глубина модуляции диэлектрической проницаемости  $\epsilon$  произвольной. Тем не менее, точное решение демонстрирует безотражательное прохождение гибридных мод через такую структуру. Выполнен также анализ возможности безотражательного прохождения неоднородного пакета электромагнитных волн из вакуума через слой однородной плазмы с резкими границами, имеющий большую толщину в масштабе вакуумной длины волны  $c/\omega$ .

Помимо указанных выше приложений рассмотренный эффект представляет интерес для повышения эффективности поглощения электромагнитного излучения в плазменных системах, для генерации электромагнитных волн потоками быстрых заряженных частиц в космической плазме и вращения плоскости поляризации волн в плазменных устройствах, для просветления волновых барьеров от антенн, покрытых плотной плазменной оболочкой, и как новый механизм выхода излучения от источников, находящихся внутри астрофизических объектов с концентрацией плазмы существенно выше критического значения. Вполне очевидно, что эффект безотражательного взаимодействия электромагнитных излучений с неоднородными средами может стимулировать новую интерпретацию данных наблюдений в различных областях науки и ее практических приложениях. Дополнительно отметим, что ряд особенностей взаимодействия электромагнитных волн с неоднородной киральной плазмой в области плазменного резонанса обсуждался ранее в работе [3].

## 2. ОСНОВНЫЕ УРАВНЕНИЯ И ИХ АНАЛИЗ

Рассмотрим распространение электромагнитных волн в плазме без внешнего магнитного поля с учётом киральности. Пусть зависимость возмущё-

ний от времени имеет вид:  $\mathbf{E}, \mathbf{H} \sim \exp(-i \omega t)$ , магнитная восприимчивость  $\mu = 1$ . Связь полей  $\mathbf{E}, \mathbf{H}$  с индукциями  $\mathbf{D}, \mathbf{B}$  определяется стандартными соотношениями для биизотропной киральной среды:

$$\mathbf{B} = \mathbf{H} - i \gamma \mathbf{E}, \mathbf{D} = i \gamma \mathbf{H} + (\varepsilon + \gamma^2) \mathbf{E}. \quad (1)$$

В (1)  $\gamma$  – безразмерный коэффициент киральности, который полагается малым  $\gamma \ll 1$ . Используем также уравнения Максвелла:

$$\text{с rot } \mathbf{E} = i \omega \mathbf{B}, \text{ с rot } \mathbf{H} = -i \omega \mathbf{D}. \quad (2)$$

Рассмотрим взаимодействие с плазмой поперечных электромагнитных волн с круговой поляризацией. Введем следующие обозначения:  $E_1 = E_x + iE_y, E_2 = E_x - iE_y, H_1 = H_x + iH_y, H_2 = H_x - iH_y$ . Из (1), (2) получаем следующую систему уравнений для  $E_1, E_2$ :

$$\nabla_{\xi}^2 E_1 + 2i\gamma \nabla_{\xi} E_1 + \varepsilon E_1 = 0, \nabla_{\xi}^2 E_2 - 2i\gamma \nabla_{\xi} E_2 + \varepsilon E_2 = 0. \quad (3)$$

С помощью очевидных замен  $E_1 = F_1(\xi) \exp(-i \gamma \xi), E_2 = F_2(\xi) \exp(i \gamma \xi)$  задача сводится к решению уравнения Геймгольца:

$$\nabla_{\xi}^2 F_{1,2} + (\varepsilon + \gamma^2) F_{1,2} = 0. \quad (3)$$

Отметим, что  $H_1 = \exp(-i \gamma \xi) \nabla_{\xi} F_1, H_2 = \exp(i \gamma \xi) \nabla_{\xi} F_2$ . Точное решение уравнений (3) ищем в виде [7,8]

$$F_{1,2}(\xi) = [E_0 / p(\xi)^{1/2}] \exp[i\Psi(\xi)], d\Psi/d\xi = p(\xi).$$

Здесь  $E_0$  – константа, определяемая потоком энергии в волне, а безразмерный волновой вектор  $p(\xi)$  связан с диэлектрической проницаемостью среды  $\varepsilon$  уравнением

$$p_{\xi\xi} / 2 p - 0.75 (p_{\xi} / p)^2 + p^2 - \varepsilon_{ef} = 0, \quad (4)$$

где  $\varepsilon_{ef} = \varepsilon + \gamma^2$ . Рассмотрим вначале линейный режим взаимодействия электромагнитных волн с однородной прозрачной плазмой, когда  $\varepsilon_{ef} > 0$ . Уравнение (4) имеет интеграл

$$p_{\xi}^2 + 4 p^2 [(p - \varepsilon_{ef}^{1/2} D)^2 + \varepsilon_{ef} (1 - D^2)] = 0.$$

Здесь  $D = \text{const}$  и надо полагать  $D \geq 1$ . Как видим, даже в однородной плазме волновое число моды с заданной частотой промодулировано, а интервал его изменения  $p_2 \leq p(\xi) \leq p_1, p_{1,2} = \varepsilon_{ef}^{1/2} [D \pm (D^2 - 1)^{1/2}]$ . В переменной  $\xi$  период указанной модуляции равен  $\lambda_{\xi} = \pi / \varepsilon_{ef}^{1/2}$ , т.е. не зависит от параметра  $D$ . В частности, при выборе  $D = 0.5 (\varepsilon_{ef}^{1/2} + 1 / \varepsilon_{ef}^{1/2})$  имеем  $p_1 = \varepsilon_{ef}, p_2 = 1$ . Нетрудно показать, что для плазменных слоев с толщинами  $\delta \xi = n \lambda_{\xi}$ , где  $n$  – целое число, при соответствующем выборе постоянной  $D$  на границах слоя возможна сшивка с вакуумными решениями. При этом падающая из вакуума поперечная волна с круговой поляризацией без отражения проходит через указанный слой, а значение  $\varepsilon_{ef}$  остается свободным параметром задачи.

Учет кубической нелинейности аналогично выполненному ранее в работе [10] не меняет этого вывода.

Теперь рассмотрим случай, когда диэлектрическая проницаемость однородной киральной плазмы отрицательна:  $\varepsilon_{ef} \equiv -\mu^2 < 0$ , т.е. среда непрозрачна. Интеграл уравнения (4) запишем в виде

$$p_{\xi}^2 + 4 p^2 [(p - \mu A)^2 - \mu^2 (1 + A^2)] = 0.$$

Здесь  $A = \text{const}$  и полагаем  $A > 0$ . Теперь  $0 \leq p(\xi) \leq p_1$ , где  $p_1 = \mu [A + (A^2 + 1)^{1/2}]$ . В данном случае в линейном режиме просветления среды волновой вектор  $p(\xi)$  убывает в глубь плазмы, асимптотически стремясь к нулю при  $\xi \rightarrow \infty$ . Соответственно поле волны

будет неограниченно возрастать и необходимо учесть нелинейные эффекты. Например, учет кубической нелинейности в диэлектрической проницаемости вида  $\varepsilon_{ef} = -\mu^2 + [\sigma / p(\xi)]$ . Здесь  $\sigma$  – малый параметр нелинейности, приводит к следующему интегралу модифицированного нелинейностью уравнения (4):

$$p_{\xi}^2 + 4 p^2 [(p - \mu A)^2 - \mu^2 (1 + A^2) + (\sigma/2p)] = 0. \quad (5)$$

Согласно (5) для слабой нелинейности функция  $p(\xi)$  меняется в интервале  $p_3 \leq p(\xi) \leq p_1$ , где  $p_3 \approx 0.5 \sigma / \mu^2$ . Для безотражательного просветления слоя падающей из вакуума электромагнитной волной величина постоянной  $A$  находится из условия сшивки волнового вектора  $k_z$  с вакуумным значением  $\omega/c$ . Внутри слоя поле волны промодулировано, а толщина слоя должна составлять целое число периодов указанной модуляции. Период модуляции  $\lambda_{\xi}$  определяется численным интегрированием уравнения (5).

Уравнение (4) позволяет, задав функцию  $p(\xi)$ , получать пространственный профиль диэлектрической проницаемости  $\varepsilon(\xi)$  неоднородной киральной среды, соответствующий безотражательному прохождению электромагнитной волны через набор различных локализованных структур. В качестве иллюстрации зададим волновое число формулой

$$p(\xi) = \{1 + \chi [1 - \cos(\alpha \xi)]\}^2$$

с параметрами  $\chi, \alpha$ . Полагаем, что  $\chi > -0.5$ . Следовательно, в неоднородном слое  $0 \leq \xi \leq b$  выполняется условие  $p \neq 0$ . Определим параметр  $\alpha$  следующим соотношением  $\alpha = 2 \pi n/b$ , где  $n$  – целое число. Тогда на границах слоя величина волнового вектора будет равна вакуумному значению и, поскольку на границах слоя производные  $p_{\xi}(0) = p_{\xi}(b) = 0$ , возможна сшивка безотражательного решения с падающей на неоднородный слой слева и уходящей от него справа электромагнитными волнами. В данном примере профиль диэлектрической проницаемости следующий:

$\varepsilon_{ef}(\xi) = p^2(\xi) + [\chi \alpha^2 \cos(\alpha \xi)]/q(\xi) - 2[\chi \alpha \sin(\alpha \xi)]^2/q^2(\xi)$ .  
Здесь  $q(\xi) = 1 + \chi [1 - \cos(\alpha \xi)]$ . Пусть  $n = 8, b = 70, \chi = 0.398$ . График диэлектрической проницаемости  $\varepsilon_{ef}(\xi)$  представлен на Рис.1.

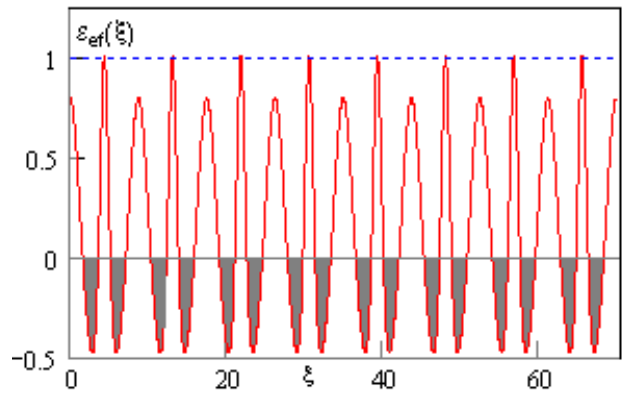


Рис.1. Профиль  $\varepsilon_{ef}(\xi)$  в слое

Как видим, среда сильно стратифицирована, а профиль диэлектрической проницаемости включает и многочисленные слои непрозрачности (помечены серым цветом). Заметим, что на границах слоя имеется скачок диэлектрической проницаемости. Про-

странственный профиль безразмерного волнового числа для рассматриваемого случая дан на Рис.2.

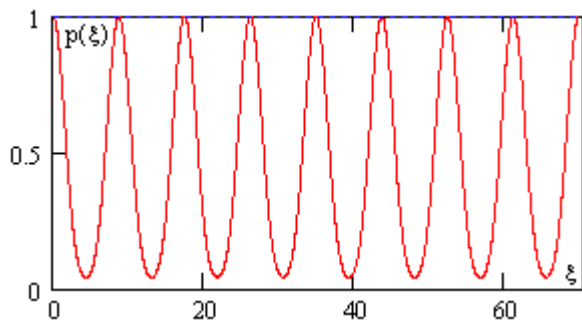


Рис.2. Профиль волнового числа  $p(\xi)$

В неоднородном слое реализуется глубокая модуляция профиля  $p(\xi)$ , причем  $\min p(\xi) \approx 0.051$ .

Приведем другой пример безотражательного взаимодействия поперечной гибридной моды с неоднородной киральной средой. Зададим волновое число формулой  $p(\xi) = \chi / (1 + \alpha\xi)$  с параметрами  $\chi$  и  $\alpha > 0$ . Для данного волнового числа диэлектрическая проницаемость определяется следующим выражением:  $\epsilon_{ef}(\xi) = (\chi^2 + 0.25 \alpha^2) / (1 + \alpha\xi)^2$ . Пусть  $\chi=0,98$  и  $\alpha = 0,2$ . Тогда графики для  $p(\xi)$  и  $\epsilon_{ef}(\xi)$  имеют вид, представленный на Рис.3 и 4. В рассматриваемом случае плазма полностью прозрачна для электромагнитной волны, хотя диэлектрическая проницаемость асимптотически (при  $\xi \rightarrow \infty$ ) стремится к нулю.

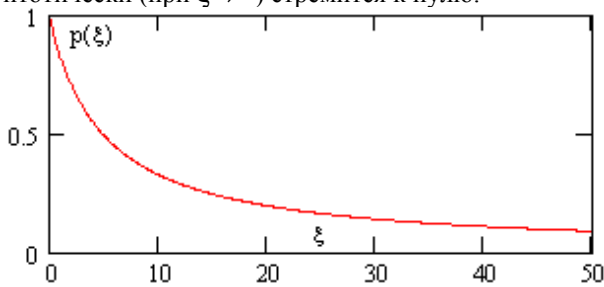


Рис.3

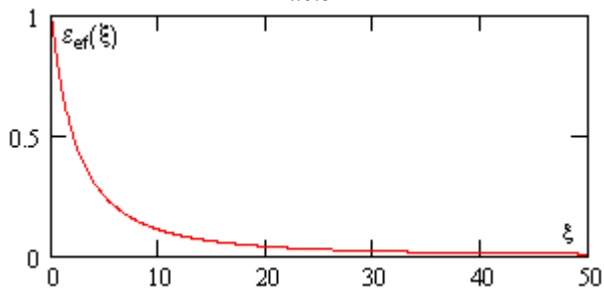


Рис.4

Зададим безразмерное волновое число формулой  $p(\xi) = A \exp(-\xi) - B \exp(-\beta \xi)$ . Киральная среда занимает область  $\xi \geq 0$ . Из условий сшивки с полем падающей из вакуума поперечной моды на левой границе  $\xi = 0$  и реализации безотражательного режима взаимодействия волны со средой находим  $A = \beta B$ ,  $B = 1/(\beta - 1)$ , где полагаем  $\beta > 1$ . Графики функций  $p(\xi)$ ,  $\epsilon_{ef}(\xi)$  показаны на Рис.5 и 6 в случае  $\beta = 1.4$ .

На Рис.6 область отрицательных значений диэлектрической проницаемости  $\epsilon_{ef}(\xi)$  выделена серым цветом. Как видим, в данном случае падающая из

вакуума электромагнитная волна проникает в непрозрачную плазму сколь угодно глубоко.

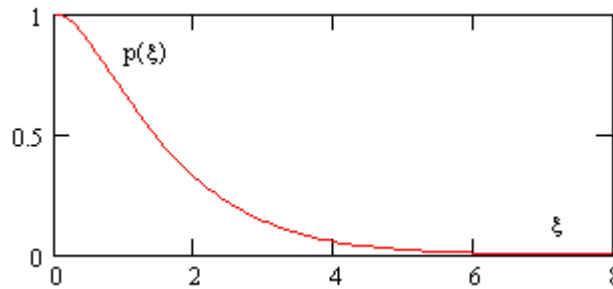


Рис.5

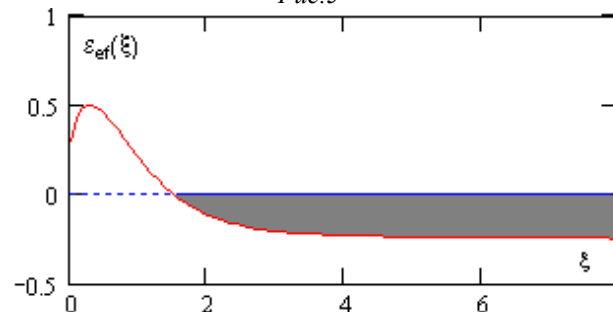


Рис.6

Волновой вектор экспоненциально убывает с ростом  $\xi$  и, как уже отмечалось выше, вследствие роста волнового поля на определенных расстояниях от границы  $\xi = 0$  применимость линейного анализа нарушается и необходимо учитывать нелинейные эффекты.

## ЗАКЛЮЧЕНИЕ

Таким образом, в настоящей работе на основе точно решаемых моделей изучено безотражательное взаимодействие электромагнитных волн (поперечных гибридных мод) с однородными и неоднородными киральными средами, включая случай непрозрачных в линейном режиме слоев. В задаче имеется целый ряд независимых произвольных параметров, в частности, толщина неоднородного слоя, глубина модуляции диэлектрической проницаемости. Полученные точные решения демонстрируют безотражательное прохождение гибридных мод через такие мелкошабные структуры, т.е. имеет место просветление среды.

Интересно и следующее. Численными расчетами можно показать, что подбором исходных параметров задачи можно реализовать случаи, когда в некоторых слоях неоднородной киральной среды показатель преломления  $p(\xi)$  оказывается больше единицы, и, следовательно, фазовая скорость волны в этих слоях будет меньше скорости света в вакууме. Это означает возможность черенковского резонанса гибридной поперечной моды с быстрыми заряженными частицами при отсутствии внешнего магнитного поля.

Возможны также режимы безотражательного распространения электромагнитных волн при наличии областей непрозрачности и конечного резонансного поглощения волн при вполне регулярном поведении квадрата волнового числа  $k_z^2(z)$ , причем поглощение волны происходит при вполне регуляр-

ном поведении  $k_z^2(z)$ . Дополнительно отметим и следующее. Для заранее заданных базовых моделей локальной неоднородности их сумма со случайным набором входящих параметров будет определять модель безотражательного взаимодействия электромагнитной волны с хаотически неоднородной средой. Представляет интерес обобщение изложенного выше подхода на случай нескольких связанных волн с учетом эффекта их взаимной трансформации. Вполне очевидно, что кроме исследованных выше электромагнитных мод в неоднородной киральной плазме безотражательное распространение и просветление барьеров возможно и для других типов волн, например, звуковых, внутренних – гравитационных.

### ЛИТЕРАТУРА

1. D.L. Jaggard, A.K. Mickelson, C.H. Papas. On electromagnetic waves in chiral media // *Applied Physics*. 1979, v.18, p.211-216.
2. P. Pelet, N. Engheta. Coupled-mode theory for chiro-waveguides // *Journal of Applied Physics*. 1990, v.67, №6, p.2742-2745.
3. Г.В. Гах, Н.С. Ерохин. Особенности взаимодействия электромагнитных волн и пучков заряженных частиц с киральной плазмой // *Научная сессия МИФИ-2007* / Сборник трудов. М.: МИФИ. 2007, т.4, с.108-110.
4. Е.В. Аксенова, Е.В. Крюков, В.П. Романов. Особенности распространения света в киральных средах // *ЖЭТФ*. 2008, т.132, в.6, с.1435-1442.
5. С.А. Третьяков. Электродинамика сложных сред. // *Радиотехника и электроника*. 1994, т.39, №10, с.1457-1470.
6. В.А. Неганов, О.В. Осипов. Отражение электромагнитных волн от плоских киральных структур // *Известия вузов, сер. Радиофизика*. 1999, т.42, в.9, с.870-878.
7. В.Л. Гинзбург, А.А. Рухадзе. *Электромагнитные волны в плазме*. М.: Наука, 1970, 207 с.
8. A.B. Shvartsburg, G. Petite. Reflectionless tunneling of light in gradient optics // *Optics Letters*. 2006, v.31, p.1127-1132.
9. Н.С. Ерохин, Л.А. Михайловская, Н.Н. Ерохин. *Некоторые примеры точных решений математических моделей, описывающих колебания непрерывных сред*: Препринт Пр-2109. М.: ИКИ РАН, 2005, 14 с.
10. N.S. Erokhin, V.E. Zakharov. On nonlinear transillumination of wave barriers for electromagnetic radiation in inhomogeneous plasma // *Doklady Physics*. 2007, v.52, №9, p.332-334.

Статья поступила в редакцию 05.05.2008 г.

### REFLECTIONLESS PASSAGE OF THE ELECTROMAGNETIC WAVE THROUGH A CHIRAL MATTER LAYER

*G.V. Gakh, N.S. Erokhin*

Interaction of an electromagnetic wave with a chiral matter layer is investigated. The problem is shown to the analysis of equation Helmholtz. On the basis of the exact decision the opportunity of reflectionless passages of a wave falling from vacuum through a chiral matter layer for any values of a dielectric permeability of a layer  $\epsilon$  including a case opaque plasmlike media with negative value  $\epsilon$  is shown. Examples of an enlightenment of a chiral matter layer are resulted at presence of intensive small-scale structures.

### БЕЗВІДБИТКОВЕ ПРОХОДЖЕННЯ ЕЛЕКТРОМАГНІТНОЇ ХВИЛІ КРІЗЬ ШАР КИРАЛЬНОГО СЕРЕДОВИЩА

*Г.В. Гах, М.С. Єрохин*

Вивчена взаємодія електромагнітної хвилі з шаром кирального середовища. Задача зведена до аналізу рівняння Гельмгольца. На основі точного розв'язання показана можливість безвідбиткового проходження падаючої з вакууму хвилі крізь шар кирального середовища для будь-яких значень діелектричної проникності шару  $\epsilon$ , включаючи випадок непрозорого плазмоподібного середовища з негативним значенням  $\epsilon$ . Наведені приклади просвітлення шару кирального середовища за наявності інтенсивних мікомасштабних структур.